

1. Химия и технология брома и иода.— Л.: Ин-т прикл. химии, 1976.— 67 с.
2. Ксензенко В. И., Стасиневич Д. С. Химия и технология брома, иода и их соединений.— М.: Химия, 1979.— 304 с.
3. Тезисы докладов Всесоюзного совещания «Состояние разработок по извлечению иода, брома и микроэлементов из промышленных вод иодобромных производств жидкими и твердыми сорбентами», 12—13 октября 1982 г., г. Саки. Черкассы: НИИТЭХИМ, 1982.— 40 с.
4. Николаев В. Г., Стрелко В. В. Гемосорбция на активных углях.— Киев: Наук. думка, 1979.— 286 с.
5. Лоскутов А. И. Получение и исследование свойств азотсодержащих активных углей: Автореф. дис. ... канд. хим. наук.— Л., 1968.— 13 с.
6. Кузин И. А., Лоскутов А. И. Получение и исследование ионообменных свойств азотсодержащего угля.— Журн. прикл. химии, 1966, 39, № 1, с. 100—104.
7. Дубинин М. М. Пористая структура и адсорбционные свойства активных углей.— М.: Воен. акад. хим. защиты, 1965.— 115 с.

Институт общей и неорганической химии АН УССР,  
Киев

Поступила 28.01.83

УДК 669.85/86:609.777

## ИССЛЕДОВАНИЕ ПРОЦЕССА ОБРАЗОВАНИЯ ТЕЛЛУРИТОВ РЗЭ МЕТОДОМ ИК-СПЕКТРОСКОПИИ

А. Л. Волошина, Л. А. Иванченко, В. А. Оболончик, В. А. Сердюк

Теллуриды РЗЭ состава  $\text{Ln}_2\text{Te}_3\text{O}_9$  обладают интересными физическими свойствами и поэтому привлекают внимание исследователей [1]. Они имеют довольно широкую область оптической прозрачности от ультрафиолета до ИК-части спектра [2], могут быть использованы как пигментные добавки к краскам, растворяются в расплавах оптических стекол [3]. Однако процесс образования теллуридов РЗЭ изучен недостаточно. Не исследована природа получаемых из водных растворов осадков, а также процессы, происходящие при нагревании теллуридов РЗЭ. Теллуриды РЗЭ получены из водных растворов при взаимодействии эквивалентных количеств теллурида натрия и нитрата РЗЭ (где РЗЭ — ряд элементов от лантана до лютеция, кроме церия и прометия) по методике, приведенной в работе [4].

Цель настоящего исследования — изучить процессы, происходящие при формировании теллуридов РЗЭ, методом ИК-спектроскопии.

Теллуриды, полученные из водных растворов с последующим высушиванием на воздухе при температуре 20—22°, имеют состав  $\text{Ln}_2\text{Te}_3\text{O}_9 \cdot n\text{H}_2\text{O}$ , где  $n=4\div 6$ , в соответствии с данными химического анализа [5]. Процесс удаления  $\text{H}_2\text{O}$  изучен на примере  $\text{La}_2\text{Te}_3\text{O}_9 \cdot 6\text{H}_2\text{O}$ . Образцы теллурида лантана выдержаны при температурах 150, 400, 500, 600 и 700° до постоянного веса. Образцы теллуридов всех РЗЭ, выдержанные при температурах 150—400°, рентгеноаморфны, при 500—580° имеют  $\alpha$ -модификацию теллуридов РЗЭ, выше 600° —  $\beta$ -модификацию теллуридов РЗЭ.

ИК-спектры исследованных соединений получены на приборе UR-20 и «Хитачи» ФИС-3 в спектральном интервале частот 40—5000  $\text{см}^{-1}$ . Образцы для исследования приготавливали методом прессования 2,5 мг исследуемого вещества в 150 мг КВг или запрессовкой в полиэтилен.

На рис. 1 представлены ИК-спектры пропускания  $T(\nu)$  теллурида лантана, отожженного при различных температурах. В таблице приведены спектральные положения минимумов ИК-пропускания для теллуридов всех остальных РЗЭ, кроме Се и Рт, высушенных при температуре 150°. Характерной для всех теллуридов РЗЭ является полоса при 705  $\text{см}^{-1}$ , соответствующая антисимметричному валентному колебанию аниона  $\text{TeO}_3^{2-}$  [6, 7]. Во всех спектрах обнаружены минимумы

$T$  при 1390, 1500 и 1640  $\text{см}^{-1}$ , которые отнесены нами к деформационным колебаниям воды [6, 8, 9]. Широкая полоса поглощения при 3400  $\text{см}^{-1}$  соответствует валентным колебаниям воды. Имеющиеся данные позволяют предположить, что вода в системе кристаллизационная, то есть связанная или слабыми координационными связями с металлом, или слабыми водородными связями, либо теми и другими [6].

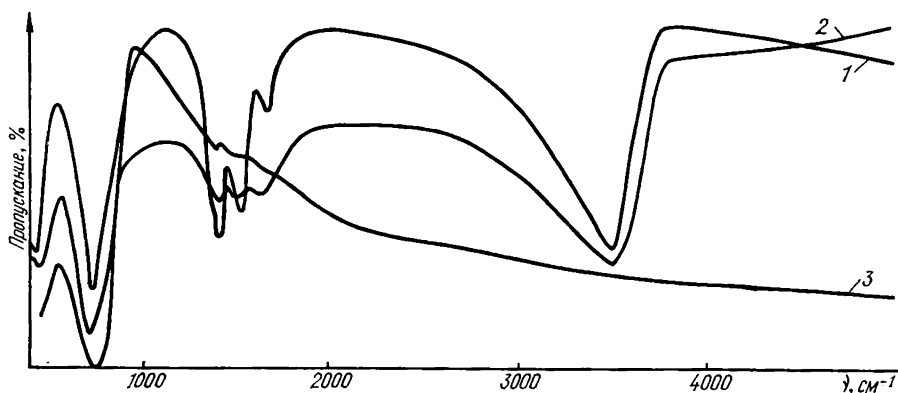


Рис. 1. ИК-спектры пропускания теллуриата лантана, отожженного при различных температурах, °С: 1 — 150; 2 — 400; 3 — 580.

Тогда полосу 1640  $\text{см}^{-1}$  можно отнести к  $\delta_{\text{H}_2\text{O}}$  воде, связанной водородными связями, а 1390 и 1500  $\text{см}^{-1}$  — к слабым координационным связям с металлом [6, 9]. Для РЗЭ от лантана до лютеция заметно возрастает энергия колебания связи  $\text{H}_2\text{O}$  — металл, что обуславливает сдвиг полосы при 1500  $\text{см}^{-1}$  для теллуриата лантана до 1540  $\text{см}^{-1}$  для теллуриата лютеция.

**Спектральные положения минимумов пропускания теллуриатов РЗЭ, высушенных при температуре 150°**

| Соединение ( $n \approx 3$ )                                 | Минимумы $T$ , $\text{см}^{-1}$ |     |      |      |      |      |
|--|---------------------------------|-----|------|------|------|------|
| $\text{La}_2\text{Te}_3\text{O}_9 \cdot n\text{H}_2\text{O}$ | 412                             | 705 | 1395 | 1490 | 1650 | 3440 |
| $\text{Pr}_2\text{Te}_3\text{O}_9 \cdot n\text{H}_2\text{O}$ | 413                             | 700 | 1390 | 1498 | 1655 | 3470 |
| $\text{Nd}_2\text{Te}_3\text{O}_9 \cdot n\text{H}_2\text{O}$ | 405                             | 700 | 1390 | 1500 | 1650 | 3360 |
| $\text{Sm}_2\text{Te}_3\text{O}_9 \cdot n\text{H}_2\text{O}$ | 412                             | 700 | 1395 | 1500 | 1650 | 3430 |
| $\text{Eu}_2\text{Te}_3\text{O}_9 \cdot n\text{H}_2\text{O}$ | 412                             | 700 | 1395 | 1500 | 1640 | 3435 |
| $\text{Gd}_2\text{Te}_3\text{O}_9 \cdot n\text{H}_2\text{O}$ | 407                             | 700 | 1390 | 1515 | 1650 | 3460 |
| $\text{Tb}_2\text{Te}_3\text{O}_9 \cdot n\text{H}_2\text{O}$ | 410                             | 700 | 1394 | 1515 | 1640 | 3360 |
| $\text{Dy}_2\text{Te}_3\text{O}_9 \cdot n\text{H}_2\text{O}$ | 413                             | 700 | 1395 | 1520 | 1660 | 3400 |
| $\text{Ho}_2\text{Te}_3\text{O}_9 \cdot n\text{H}_2\text{O}$ | 415                             | 700 | 1393 | 1520 | 1645 | 3400 |
| $\text{Er}_2\text{Te}_3\text{O}_9 \cdot n\text{H}_2\text{O}$ | 420                             | 715 | 1390 | 1520 | 1640 | 3370 |
| $\text{Tm}_2\text{Te}_3\text{O}_9 \cdot n\text{H}_2\text{O}$ | 415                             | 705 | 1390 | 1520 | 1640 | 3350 |
| $\text{Yb}_2\text{Te}_3\text{O}_9 \cdot n\text{H}_2\text{O}$ | 415                             | 710 | 1395 | 1535 | 1640 | 3370 |
| $\text{Lu}_2\text{Te}_3\text{O}_9 \cdot n\text{H}_2\text{O}$ | 410                             | 710 | 1390 | 1540 | 1640 | 3370 |

В соответствии с повышением температуры отжига изменяется и интенсивность валентных и деформационных колебаний воды вплоть до полного их исчезновения для образцов, имеющих кристаллическую  $\alpha$ -модификацию теллуриатов РЗЭ (см. рис. 1). Неизменной остается полоса при 705  $\text{см}^{-1}$ , не обнаружены полосы, характерные для иона  $\text{TeO}_6^{6-}$  [7], что подтверждает отсутствие окисления теллуриатов РЗЭ при нагревании в данном температурном режиме.

Полосы в интервале 400—500  $\text{см}^{-1}$  отнесены нами к колебаниям связей  $\text{Me} - \text{O}$  [6]. ИК-спектры  $\beta$ -модификации теллуриатов РЗЭ представлены на рис. 2. Они являются более сложными. Теллуриаты РЗЭ

условно можно поделить на три группы по трем типам структур согласно их  $\beta$ -модификации в соответствии с размером ионного радиуса РЗЭ [10]. ИК-спектры этих групп также имеют некоторые характерные отличия. К первой группе относятся теллуриды лантана, празеодима и неодима. В их ИК-спектрах наблюдается расщепление полосы поглощения иона  $\text{TeO}_3^{2-}$  на две. В ИК-спектрах второй группы, к которой

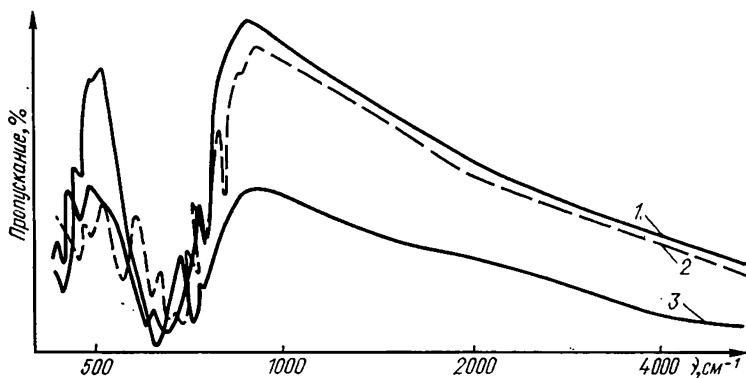


Рис. 2. ИК-спектры пропускания теллуридов лантана (1), самария (2) и иттербия (3)  $\beta$ -модификации.

относятся теллуриды элементов от самария до тулия, полоса поглощения  $\text{TeO}_3^{2-}$  имеет более сложный характер расщепления. В ИК-спектрах третьей группы максимум поглощения наблюдается при 710—715  $\text{cm}^{-1}$ . Расщепление основной полосы колебания иона  $\text{TeO}_3^{2-}$  зависит от особенностей  $\beta$ -структуры и объясняется влиянием симметрии решетки на симметрию структурной группы  $\text{TeO}_3^{2-}$ . Отмечено также изменение энергии колебания от 412 до 435  $\text{cm}^{-1}$  связи  $\text{Me}-\text{O}$  по ряду РЗЭ, что может быть связано с уменьшением радиуса катиона.

Таким образом, впервые исследовав ИК-спектральные характеристики теллуридов РЗЭ, мы установили, что вода, которая входит в состав теллуридов, полученных из водных растворов, является кристаллизационной, и процесс дегидратации вплоть до кристаллизации  $\beta$ -модификации не оказывает существенного влияния на структурную группу  $\text{TeO}_3^{2-}$ . В результате исследования ИК-спектров  $\beta$ -модификации установлено, что симметрия решетки теллуридов РЗЭ влияет на симметрию структурной группы  $\text{TeO}_3^{2-}$ .

1. Некоторые оптические характеристики порошков теллуридов редкоземельных элементов / А. Л. Волошина, Л. А. Иванченко, В. А. Оболончик, Е. С. Луговская.— Порошковая металлургия, 1982, № 9, с. 53—56.
2. Волошина А. Л., Оболончик В. А. Изучение условий образования и физико-химических свойств теллуридов РЗЭ.— В кн.: X Республиканская конференция по неорганической химии: Тез. докл. Симферополь: Симферопольск. ун-т, 1981, с. 50.
3. Получение теллуридов РЗМ и их использование в качестве добавок к оптическим стеклам / А. Л. Волошина, Л. А. Иванченко, В. А. Оболончик и др.— В кн.: Всесоюзное совещание «Неорганические жаростойкие материалы, их применение и внедрение в народное хозяйство»: Тез. докл. Кемерово; Кемеров. ун-т, 1982, ч. 1, с. 39—40.
4. Волошина А. Л., Оболончик В. А. Физико-химические основы получения теллуридов редкоземельных металлов.— Укр. хим. журн., 1982, 48, № 10, с. 1028—1029.
5. Анализ полупроводниковых сплавов / Под ред. В. А. Оболончика.— М.: Металлургия, 1975.— 204 с.
6. Накамото К. Инфракрасные спектры неорганических и координационных соединений.— М.: Мир, 1966.— 411 с.
7. Siebert H. Struktur der Sauerstoffsäuren.— Z. anorg. und allg. Chem. 1955, 275, H. 4—5, S. 225—240.
8. Физико-химические свойства водных гексатанталатов редкоземельных элементов / В. Е. Козель, А. М. Голуб, В. И. Безруков и др.— В кн.: Химические свойства соединений РЗЭ. М.: Наука, 1973, с. 45—47.
9. Макагун В. М., Щегров Л. Н. Состояние воды в неорганических кристаллогидратах и особенности реакций их дегидратации.— Успехи химии, 1972, 41, вып. 11, с. 1937—1959.

УДК 546.185.47+732

## ТЕРМИЧЕСКАЯ УСТОЙЧИВОСТЬ ГИДРАТОВ ТРЕХЗАМЕЩЕННЫХ ДВОЙНЫХ ОРТОФОСФАТОВ ЦИНКА — КОБАЛЬТА

Л. Н. Щегров, Н. М. Антрапцева, А. С. Костенко

В работе [1] приведены условия образования не описанных ранее двойных трехзамещенных ортофосфатов цинка — кобальта, полученных при взаимодействии механической смеси основных карбонатов цинка и кобальта с ортофосфорной кислотой. Эти фосфаты изоструктурны с орторомбическим гопеитом  $Zn_3(PO_4)_2 \cdot 4H_2O$  и представляют изоморфный ряд твердых растворов на основе  $Zn_3(PO_4)_2 \cdot 4H_2O$ . Установлен состав фосфатов, отвечающий формуле  $Zn_{3-x}Co_x(PO_4)_2 \cdot 4H_2O$ , где  $0 < x \leq 1,00$ , и конкретизирован интервал значений  $x$ , объясняемый неравноценностью координационных возможностей атомов цинка орторомбического гопеита.

Поведение двойных трехзамещенных ортофосфатов цинка — кобальта при нагревании не изучено. Исследования термоллиза индивидуальных трехзамещенных ортофосфатов цинка и кобальта [2—4] показали значительные различия в их поведении при нагревании, обусловленные влиянием природы катиона [5].

Целью данной работы явилось изучение термической дегидратации двойных ортофосфатов  $Zn_{3-x}Co_x(PO_4)_2 \cdot 4H_2O$ , синтезированных по методу [1], и установление влияния их состава на характеристики процесса.

Основным объектом исследования служил ортофосфат состава  $Zn_2Co(PO_4)_2 \cdot 4H_2O$  ( $x=1,00$ ), являющийся предельно насыщенным твердым раствором [1], в котором заменены на кобальт все атомы цинка, способные изоморфно замещаться кобальтом, то есть атомы цинка, находящиеся в  $Zn_3(PO_4)_2 \cdot 4H_2O$  в октаэдрическом окружении.

Химический анализ и идентификацию синтезированных соединений и продуктов их дегидратации проводили по [1]. Дегидратацию изучали с использованием дериватографа Q-1500 D при нагревании на воздухе до  $950^\circ$  в динамическом (навеска образца 1,0000 г, скорость нагрева 2,5 град/мин, тигли платиновые с крышками, эталон сравнения — свежепрокаленный оксид алюминия) и квази-изотермическом (квазитигель, скорость нагрева 3 град/мин) режимах. Для расшифровки превращений, происходящих на различных стадиях термической дегидратации, отбирали пробы образца и анализировали их по методике, описанной в [3].

Согласно результатам дериватографических исследований, термическая дегидратация ортофосфата  $Zn_2Co(PO_4)_2 \cdot 4H_2O$  протекает в две стадии, характеризующиеся наличием на кривой ДТА двух глубоких эндотермических эффектов (рисунок). Потеря массы образцом на каждом этапе отвечает удалению двух молекул воды.

Процесс обезвоживания индивидуального  $Zn_3(PO_4)_2 \cdot 4H_2O$  также протекает с попарным удалением четырех молекул воды, что находится в полном соответствии с энергетическим состоянием молекул координированной воды, обусловленным структурой орторомбического гопеита [6]. Учитывая установленную ранее [1] изоструктурность  $Zn_3(PO_4)_2 \times$